

УДК 624.04

**КОНЕЧНО-ЭЛЕМЕНТНОЕ  
МОДЕЛИРОВАНИЕ ПОЛЗУЧЕСТИ  
ТРЕХСЛОЙНОЙ ПЛАСТИНЫ***А. С. Чепурненко, В. С. Чепурненко,  
А. А. Савченко*

Донской государственной технической  
университет, Ростов-на-Дону, Российская  
Федерация

[anton\\_chepurnenk@mail.ru](mailto:anton_chepurnenk@mail.ru)

Приводятся вывод разрешающих уравнений для расчета трехслойной пластины с учетом ползучести среднего слоя методом конечных элементов и пример расчета трехслойной плиты, шарнирно опертой по контуру и нагруженной равномерно распределенной нагрузкой. Представлено сравнение результатов с решением, полученным на основе метода конечных разностей.

**Ключевые слова:** трехслойная пластина, полимеры, метод конечных элементов, ползучесть, численные методы.

**Введение.** Трехслойные конструкции находят широкое применение во многих отраслях, включая авиастроение, судостроение, строительство и др. Такие конструкции, как правило, состоят из двух наружных слоев с высокими механическими характеристиками (сталь, алюминий, стеклопластики) и расположенного между ними легкого заполнителя. В качестве заполнителя широко применяются пористые полимеры (пенопласты), для которых помимо упругих свойств, характерна явно выраженная реология. Расчет трехслойных конструкций с учетом ползучести рассматривается в работах [1–3]. В работах [1–2] приводятся разрешающие уравнения для треугольного конечного элемента трехслойной плиты и оболочки. В настоящей работе будут рассмотрены прямоугольные конечные элементы, характеризующиеся более высокой точностью.

**Вывод разрешающих уравнений.** Используемый прямоугольный конечный элемент трехслойной плиты приведен на рисунке 1.

UDC 624.04

**FINITE-ELEMENT MODELING OF CREEP  
OF THREE-LAYER PLATE***A.S. Chepurnenko, V.S. Chepurnenko,  
A. A. Savchenko*

Don State Technical University, Rostov-on-Don,  
Russian Federation

[anton\\_chepurnenk@mail.ru](mailto:anton_chepurnenk@mail.ru)

The article provides the derivation of the equations for calculation of three-layer plates taking into account the creep of the middle layer by the finite element method and the example of calculation of three-layer plate, hinged along the outline and with a uniformly distributed load. The presented results are compared with the solution obtained according to the method of finite differences.

**Keywords:** three-layer plate, polymers, finite element method, creep, numerical methods.

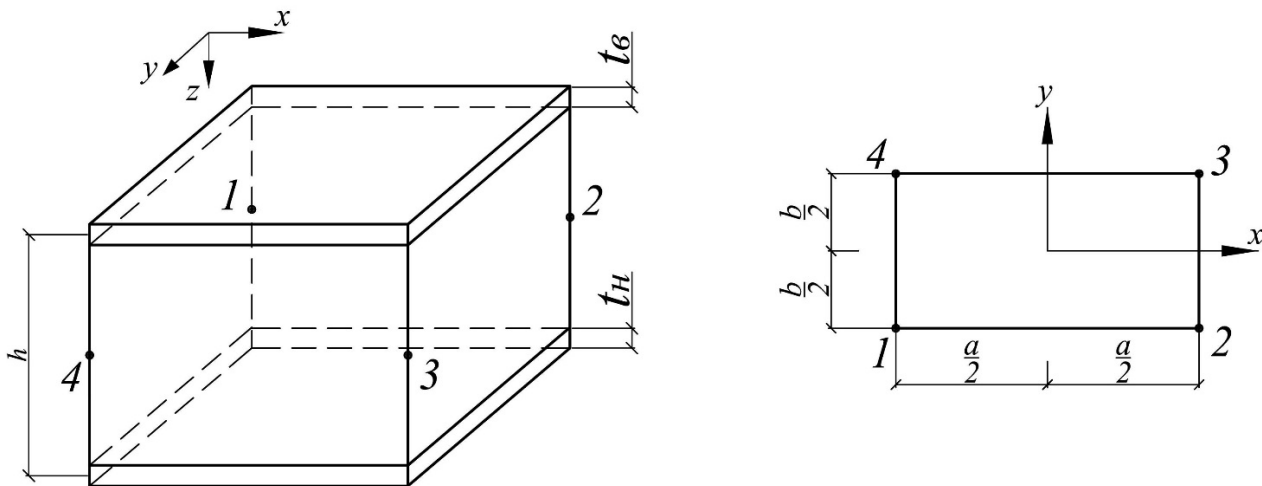


Рис. 1. Прямоугольный конечный элемент трехслойной плиты

Каждый узел данного элемента имеет 5 степеней свободы: перемещения в плоскости верхней обшивки  $u_i^6$  и  $v_i^6$ , перемещения в плоскости нижней обшивки  $u_i^H$  и  $v_i^H$ , а также прогиб  $w_i$ . Для поля перемещений в пределах элемента принимаем следующую аппроксимацию:

$$\begin{aligned} u^{6(H)} &= N_1 u_1^{6(H)} + N_2 u_2^{6(H)} + N_3 u_3^{6(H)} + N_4 u_4^{6(H)} \\ v^{6(H)} &= N_1 v_1^{6(H)} + N_2 v_2^{6(H)} + N_3 v_3^{6(H)} + N_4 v_4^{6(H)} \\ w &= N_1 w_1 + N_2 w_2 + N_3 w_3 + N_4 w_4, \end{aligned} \tag{1}$$

где  $N_1, N_2, N_3, N_4$  — функции формы.

$$\begin{aligned} N_1 &= \frac{1}{ab} \left( \frac{a}{2} - x \right) \left( \frac{b}{2} - y \right); & N_2 &= \frac{1}{ab} \left( \frac{a}{2} + x \right) \left( \frac{b}{2} - y \right); \\ N_3 &= \frac{1}{ab} \left( \frac{a}{2} + x \right) \left( \frac{b}{2} + y \right); & N_4 &= \frac{1}{ab} \left( \frac{a}{2} - x \right) \left( \frac{b}{2} + y \right), \end{aligned} \tag{2}$$

где  $a, b$  — размеры конечного элемента.

Координаты  $x$  и  $y$  в формулах (2) отсчитываются от центра тяжести конечного элемента.

Вектор деформаций конечного элемента записывается в виде:

$$\{\varepsilon\} = \left\{ \varepsilon_x^H, \varepsilon_y^H, \gamma_{xy}^H, \varepsilon_x^6, \varepsilon_y^6, \gamma_{xy}^6, \gamma_{zx}^c, \gamma_{yx}^c \right\}^T,$$

где  $\varepsilon_x^H, \varepsilon_y^H, \gamma_{xy}^H$  — деформации нижней обшивки,  $\varepsilon_x^6, \varepsilon_y^6, \gamma_{xy}^6$  — деформации верхней обшивки,  $\gamma_{zx}^c, \gamma_{yx}^c$  — деформации заполнителя.

В технической теории трехслойных пластин связь между перемещениями и деформациями имеет вид:

$$\begin{aligned} \varepsilon_x^{n(6)} &= \frac{\partial u^{n(6)}}{\partial x}; & \varepsilon_y^{n(6)} &= \frac{\partial v^{n(6)}}{\partial y}; & \gamma_{xy}^{n(6)} &= \frac{\partial u^{n(6)}}{\partial y} + \frac{\partial v^{n(6)}}{\partial x}; \\ \gamma_{zx}^c &= \frac{u^H - u^6}{h} + \frac{\partial w}{\partial x}; & \gamma_{zy}^c &= \frac{v^H - v^6}{h} + \frac{\partial w}{\partial y}. \end{aligned} \tag{3}$$

Подставив (1) в (3), получим следующую связь между узловыми перемещениями и деформациями в матричном виде:

$$\{\varepsilon\} = [B]\{U\},$$

где  $\{U\}$  — вектор узловых перемещений.

$$\{U\} = \begin{Bmatrix} \{\rho_1\} \\ \{\rho_2\} \\ \{\rho_3\} \\ \{\rho_4\} \end{Bmatrix}, \quad \{\rho_i\} = \{u_i^H \quad v_i^H \quad u_i^e \quad v_i^e \quad w_i\}^T,$$

$[B] =$

$$\begin{bmatrix} \frac{\partial N_1}{\partial x} & 0 & 0 & 0 & 0 & \frac{\partial N_2}{\partial x} & 0 & 0 & 0 & 0 & \frac{\partial N_3}{\partial x} & 0 & 0 & 0 & 0 & \frac{\partial N_4}{\partial x} & 0 & 0 & 0 & 0 \\ 0 & \frac{\partial N_1}{\partial y} & 0 & 0 & 0 & 0 & \frac{\partial N_2}{\partial y} & 0 & 0 & 0 & 0 & \frac{\partial N_3}{\partial y} & 0 & 0 & 0 & 0 & \frac{\partial N_4}{\partial y} & 0 & 0 & 0 \\ \frac{\partial N_1}{\partial y} & \frac{\partial N_1}{\partial x} & 0 & 0 & 0 & \frac{\partial N_2}{\partial y} & \frac{\partial N_2}{\partial x} & 0 & 0 & 0 & \frac{\partial N_3}{\partial y} & \frac{\partial N_3}{\partial x} & 0 & 0 & 0 & \frac{\partial N_4}{\partial y} & \frac{\partial N_4}{\partial x} & 0 & 0 & 0 \\ 0 & 0 & \frac{\partial N_1}{\partial x} & 0 & 0 & 0 & 0 & \frac{\partial N_2}{\partial x} & 0 & 0 & 0 & 0 & \frac{\partial N_3}{\partial x} & 0 & 0 & 0 & 0 & \frac{\partial N_4}{\partial x} & 0 & 0 \\ 0 & 0 & 0 & \frac{\partial N_1}{\partial y} & 0 & 0 & 0 & 0 & \frac{\partial N_2}{\partial y} & 0 & 0 & 0 & 0 & \frac{\partial N_3}{\partial y} & 0 & 0 & 0 & 0 & \frac{\partial N_4}{\partial y} & 0 \\ 0 & 0 & \frac{\partial N_1}{\partial y} & \frac{\partial N_1}{\partial x} & 0 & 0 & 0 & \frac{\partial N_2}{\partial y} & \frac{\partial N_2}{\partial x} & 0 & 0 & 0 & \frac{\partial N_3}{\partial y} & \frac{\partial N_3}{\partial x} & 0 & 0 & 0 & \frac{\partial N_4}{\partial y} & \frac{\partial N_4}{\partial x} & 0 \\ \frac{N_1}{h} & 0 & \frac{-N_1}{h} & 0 & \frac{\partial N_1}{\partial x} & \frac{N_2}{h} & 0 & \frac{-N_2}{h} & 0 & \frac{\partial N_2}{\partial x} & \frac{N_3}{h} & 0 & \frac{-N_3}{h} & 0 & \frac{\partial N_3}{\partial x} & \frac{N_4}{h} & 0 & \frac{-N_4}{h} & 0 & \frac{\partial N_4}{\partial x} \\ 0 & \frac{N_1}{h} & 0 & \frac{-N_1}{h} & \frac{\partial N_1}{\partial y} & 0 & \frac{N_2}{h} & 0 & \frac{-N_2}{h} & \frac{\partial N_2}{\partial y} & 0 & \frac{N_3}{h} & 0 & \frac{-N_3}{h} & \frac{\partial N_3}{\partial y} & 0 & \frac{N_4}{h} & 0 & \frac{-N_4}{h} & \frac{\partial N_4}{\partial y} \end{bmatrix}$$

Частные производные от функций формы записываются в виде:

$$\begin{aligned} \frac{\partial N_1}{\partial x} &= -\frac{1}{ab} \left( \frac{b}{2} - y \right); & \frac{\partial N_2}{\partial x} &= \frac{1}{ab} \left( \frac{b}{2} - y \right); & \frac{\partial N_3}{\partial x} &= \frac{1}{ab} \left( \frac{b}{2} + y \right); & \frac{\partial N_4}{\partial x} &= -\frac{1}{ab} \left( \frac{b}{2} + y \right); \\ \frac{\partial N_1}{\partial y} &= -\frac{1}{ab} \left( \frac{a}{2} - x \right); & \frac{\partial N_2}{\partial y} &= -\frac{1}{ab} \left( \frac{a}{2} + x \right); & \frac{\partial N_3}{\partial y} &= \frac{1}{ab} \left( \frac{a}{2} + x \right); & \frac{\partial N_4}{\partial y} &= \frac{1}{ab} \left( \frac{a}{2} - x \right). \end{aligned}$$

Разрешающие уравнения будут получены исходя из вариационного принципа Лагранжа. Потенциальная энергия деформации трехслойной пластины с учетом ползучести определяется следующим образом:

$$\begin{aligned} \Pi &= \frac{1}{2} \int_A t^H (\sigma_x^H \varepsilon_x^H + \sigma_y^H \varepsilon_y^H + \tau_{xy}^H \gamma_{xy}^H) + t^e (\sigma_x^e \varepsilon_x^e + \sigma_y^e \varepsilon_y^e + \tau_{xy}^e \gamma_{xy}^e) + \\ &+ h [\tau_{zx}^c (\gamma_{zx}^c - \gamma_{zx}^{c*}) + \tau_{zy}^c (\gamma_{zy}^c - \gamma_{zy}^{c*})] dA, \end{aligned} \tag{4}$$

где  $\gamma_{zx}^{c*}, \gamma_{zy}^{c*}$  — деформации ползучести заполнителя.

Выражение (4) можно переписать в виде:

$$\Pi = \frac{1}{2} \int_A \{N\}^T (\{\varepsilon\} - \{\varepsilon^*\}) dA = \frac{1}{2} \int_A \{N\}^T ([B]\{U\} - \{\varepsilon^*\}) dA, \tag{5}$$

где  $\{\varepsilon^*\} = \{0 \quad 0 \quad 0 \quad 0 \quad 0 \quad 0 \quad \gamma_{zx}^{c*} \quad \gamma_{zy}^{c*}\}^T$  — вектор деформаций ползучести,

$\{N\}^T = \{N_x^H \quad N_y^H \quad N_{xy}^H \quad N_x^e \quad N_y^e \quad N_{xy}^e \quad Q_{zx} \quad Q_{zy}\}$  — вектор внутренних усилий.

$$N_x^{H(e)} = \sigma_x^{H(e)} \cdot t^{H(e)}, \quad N_y^{H(e)} = \sigma_y^{H(e)} \cdot t^{H(e)}, \quad N_{xy}^{H(e)} = \tau_{xy}^{H(e)} \cdot t^{H(e)}, \quad Q_{zx} = \tau_{zx}^c \cdot h, \quad Q_{zy} = \tau_{zy}^c \cdot h.$$

Связь между деформациями и внутренними усилиями имеет вид:

$$\{N\} = [D] (\{\varepsilon\} - \{\varepsilon^*\}) = [D] ([B]\{U\} - \{\varepsilon^*\}), \quad (6)$$

где  $[D]$  — блочная матрица упругих постоянных.

$$[D] = \begin{bmatrix} [D^h] & & \\ & [D^e] & \\ & & [D^s] \end{bmatrix},$$

где  $[D^{e(h)}] = \frac{Et^{e(h)}}{1-\nu^2} \begin{bmatrix} 1 & \nu & 0 \\ \nu & 1 & 0 \\ 0 & 0 & (1-\nu)/2 \end{bmatrix}$ ,  $[D^s] = G_3 h \begin{bmatrix} 1 & 0 \\ 0 & 1 \end{bmatrix}$ ,  $G_3$  — модуль сдвига заполнителя.

Подставив (6) в (5), получим:

$$\begin{aligned} \Pi = & \frac{1}{2} (\{U\}^T \int_A [B]^T [D] [B] dA \{U\} - \{U\}^T \int_A [B]^T [D] dA \{\varepsilon^*\} - \{\varepsilon^*\}^T \int_A [D] [B] dA \{U\} \\ & + \int_A \{\varepsilon^*\}^T [D] \{\varepsilon^*\} dA) = \frac{1}{2} \{U\}^T \int_A [B]^T [D] [B] dA \{U\} - \{U\}^T \int_A [B]^T [D] dA \{\varepsilon^*\} + \frac{1}{2} \int_A \{\varepsilon^*\}^T [D] \{\varepsilon^*\} dA. \end{aligned}$$

Полная энергия представляет разность между потенциальной энергией деформации и потенциалом внешних сил:

$$\mathcal{E} = \Pi - A, \text{ где } A = \{U\}^T \{F\}, \{F\} \text{ — вектор внешних узловых сил.}$$

Дифференцируя полную энергию по вектору узловых перемещений получим:

$$\frac{\partial \mathcal{E}}{\partial \{U\}} = [K] \{U\} - \{F\} - \{F^*\} = 0,$$

где  $[K] = \int_A [B]^T [D] [B] dA$  — матрица жесткости,  $\{F^*\} = \int_A [B]^T [D] dA \{\varepsilon^*\}$  — вклад деформаций ползучести в правую часть системы линейных алгебраических уравнений МКЭ.

Точные выражения для коэффициентов матрицы  $[K]$  и вектора  $\{F^*\}$  были получены при помощи функций для работы с символьными переменными пакета Matlab. Вектор  $\{F^*\}$  имеет вид:

$$\{F^*\} = \begin{Bmatrix} \{F_1\} \\ -\frac{G_3 h}{2} (a\gamma_{zy}^{c*} + b\gamma_{zx}^{c*}) \\ \{F_1\} \\ \frac{G_3 h}{2} (-a\gamma_{zy}^{c*} + b\gamma_{zx}^{c*}) \\ \{F_1\} \\ \frac{G_3 h}{2} (a\gamma_{zy}^{c*} + b\gamma_{zx}^{c*}) \\ \{F_1\} \\ \frac{G_3 h}{2} (a\gamma_{zy}^{c*} - b\gamma_{zx}^{c*}) \end{Bmatrix}, \text{ где } \{F_1\} = \frac{abG_3}{4} \begin{Bmatrix} \gamma_{zx}^{c*} \\ \gamma_{zy}^{c*} \\ -\gamma_{zx}^{c*} \\ -\gamma_{zy}^{c*} \end{Bmatrix}.$$

Матрица жесткости здесь не приводится ввиду ее громоздкости.

**Результаты и их обсуждение.** Был выполнен расчет трехслойной прямоугольной шарнирно опертой по контуру плиты при следующих исходных данных: толщина плиты  $h = 8$  см, модуль упругости обшивок  $E = 2 \cdot 10^5$  МПа, коэффициент Пуассона обшивок  $\nu = 0.3$ , толщина обшивок  $t^e = t^h = 1,5$  мм, модуль сдвига заполнителя  $G_3 = 2.5$  МПа, размеры плиты  $a = b = 3$  м, на

пластину действует равномерно распределенная по площади нагрузка  $q = 2 \text{ кПа}$ . В качестве закона ползучести использовалось уравнение линейной теории наследственности:

$$G_3 \gamma_i = \tau_i + \int_{-\infty}^t \tau_i K(t-\tau) d\tau, \quad i = (xz, yz). \quad (7)$$

Ядро ползучести принималось экспоненциальным:

$$K(t-\tau) = C_3 e^{-\alpha_3(t-\tau)}; \quad C_3 = \alpha_3 = 0,077 \frac{1}{\text{час}}.$$

При экспоненциальном ядре закон ползучести (7) легко представляется в дифференциальной форме:

$$G_3 \frac{\partial \gamma_i}{\partial t} + G_3 \alpha_3 \gamma_i = \frac{\partial \tau_i}{\partial t} + (\alpha_3 + C_3) \tau_i. \quad (8)$$

В выражениях (7) и (8) содержатся величины полных деформаций сдвига заполнителя, которые представляют сумму упругих деформаций и деформаций ползучести:

$$\gamma_i = \frac{\tau_i}{G_3} + \gamma_i^*. \quad (9)$$

Используя (9), можно выразить из (8) скорости роста деформаций ползучести:

$$\frac{\partial \gamma_i^*}{\partial t} = \frac{C_3}{G_3} \tau_i - \alpha_3 \gamma_i^*.$$

Расчет велся шаговым методом, деформации ползучести в момент времени  $t + \Delta t$  определялись следующим образом:

$$\gamma_i^*(t + \Delta t) = \gamma_i^*(t) + \frac{\partial \gamma_i^*(t)}{\partial t} \Delta t.$$

Данный метод используется также в работах [4–9].

Принимались следующие граничные условия:

$$\begin{aligned} x = 0, x = a: \quad w = 0, \quad v'' = v^6 = 0; \\ y = 0, y = b: \quad w = 0, \quad u'' = u^6 = 0. \end{aligned} \quad (10)$$

На рисунке 2 представлен график роста прогиба в центре плиты.

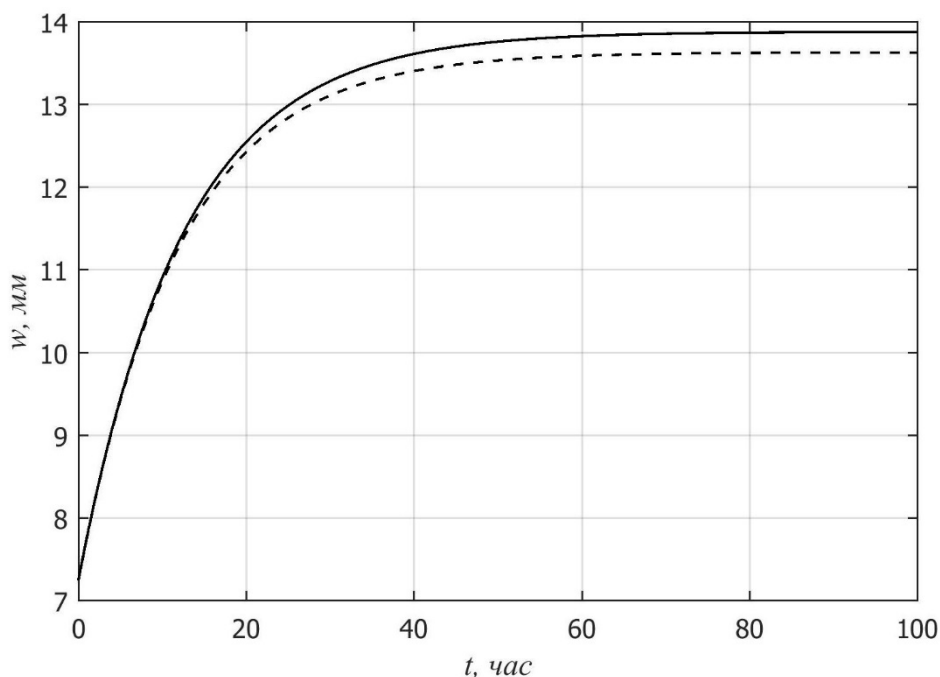


Рис. 2. График роста прогиба в центре пластинки: сплошная линия — МКЭ, штриховая линия — МКР

Сплошной линии соответствует решение, полученное авторами методом конечных элементов, штриховой линии — решение при помощи метода конечных разностей по методике, изложенной в [10]. При  $t = 0$  результаты совпадают, а при  $t \rightarrow \infty$  отличаются на 1,83%.

Напряжения в обшивках и заполнителе в процессе ползучести не меняются. Распределение напряжений  $\sigma_x^H$  и  $\tau_{xy}^H$  в нижней обшивке приведено соответственно на рисунках 3 и 4.

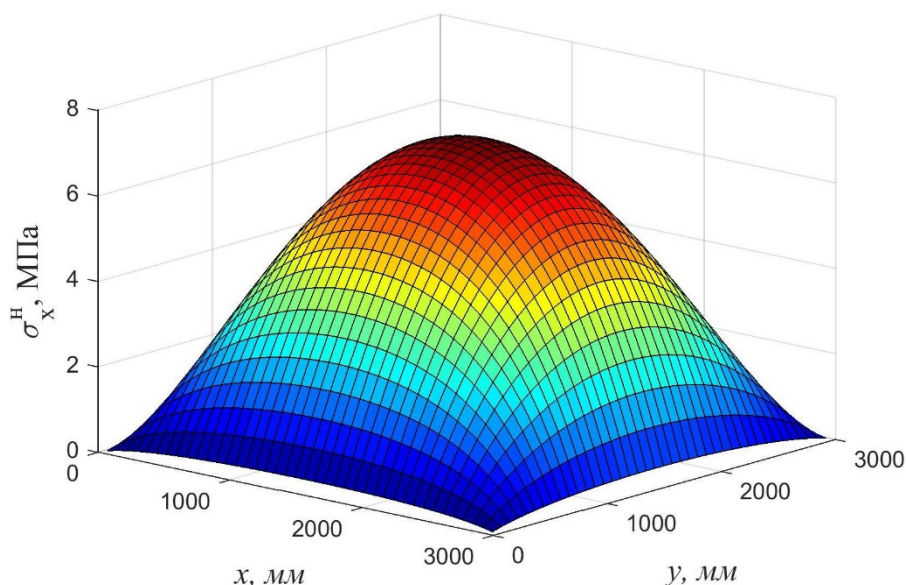


Рис. 3. Распределение нормальных напряжений в нижней обшивке

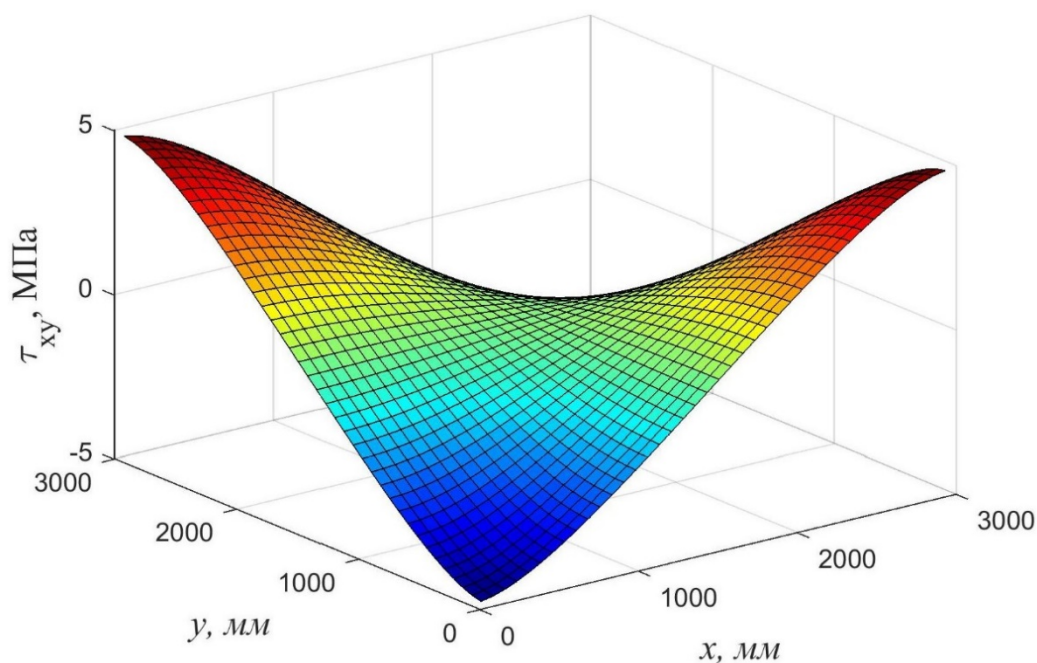


Рис. 4. Распределение касательных напряжений в нижней обшивке

Напряжения в верхней обшивке при граничных условиях (10) по абсолютному значению совпадают с напряжениями в нижней обшивке.

Распределение касательных напряжений в заполнителе приведено на рис. 5.

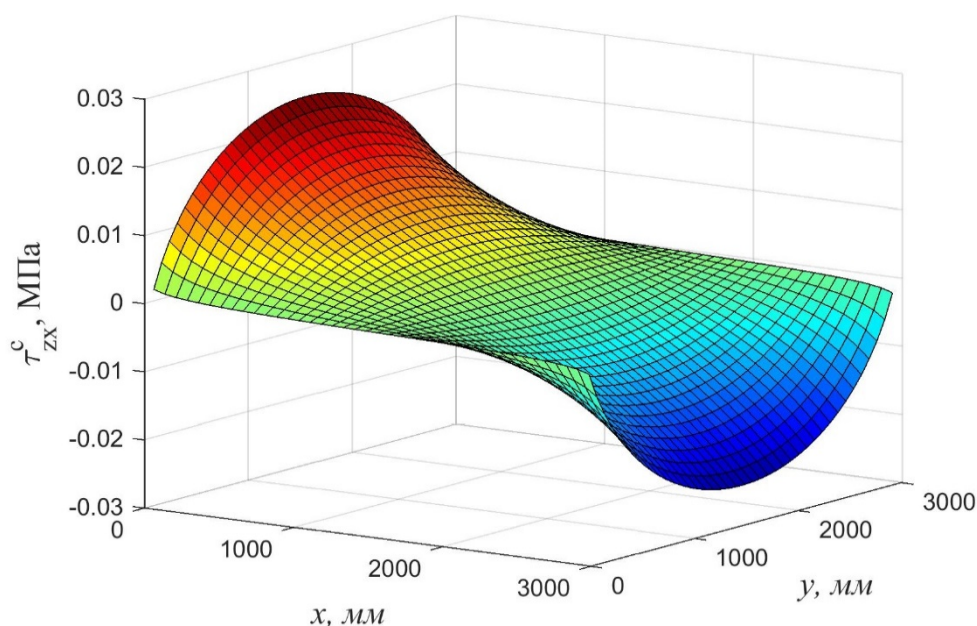


Рис. 5. Распределение касательных напряжений в заполнителе

**Выводы.** Полученные уравнения применимы при произвольных законах ползучести заполнителя, в том числе и нелинейных. Правильность уравнений и достоверность результатов подтверждена сравнением с решением на основе метода конечных разностей. Установлено, что при линейном законе ползучести напряжения в обшивках и заполнителе в процессе ползучести не меняются.

#### Библиографический список.

1. Cherpurnenko, A. S. Calculation of the Three-layer Shell Taking into Account Creep / A. S. Cherpurnenko, L. R. Mailyan, B. M. Jazyev // *Procedia Engineering*. — 2016. — Vol. 165. — P. 990 — 994. Режим доступа: <http://dx.doi.org/10.1016/j.proeng.2016.11.810>
2. Расчет трехслойной полой оболочки с учетом ползучести среднего слоя / В. И. Андреев [и др.] // *Вестник МГСУ*. — 2015. — №7. — С. 17–24.
3. Расчёт трёхслойной пластинки методом конечных элементов с учётом ползучести среднего слоя / Б. М. Языев [и др.] // *Вестник Дагестанского государственного технического университета*. — 2014. — №2 (33). — С. 47–55.
4. Чепурненко, А. С. Энергетический метод при расчете на устойчивость сжатых стержней с учетом ползучести / А. С. Чепурненко, В. И. Андреев, Б. М. Языев // *Вестник МГСУ*. — 2013. — №1. — С. 101–108.
5. Дудник, А. Е. Плоская осесимметричная задача термовязкоупругости для полимерного цилиндра / А. Е. Дудник, А. С. Чепурненко, Н. И. Никора // *Инженерный вестник Дона: электрон. науч.-инновац. журн.* — 2015. — №1-2. — Режим доступа: <http://ivdon.ru/ru/magazine/archive/n1p2y2015/2816>
6. Напряженно-деформированное состояние предварительно напряженного железобетонного цилиндра с учетом ползучести бетона / Б. М. Языев [и др.] // *Научное обозрение*. — 2014. — №11, ч. 3. — С. 759–763.



7. Напряженно–деформированное состояние короткого внецентренно сжатого железобетонного стержня при нелинейной ползучести / И. В. Юхнов [и др.] Научное обозрение. — 2014. — №8, ч. 3. — С. 929–934.
8. Andreev, V. I. Energy method in the calculation stability of compressed polymer rods considering creep / V. I. Andreev, A. S. Chepurnenko, B. M. Yazyev // *Advanced Materials Research*. — 2014. — Т. 1004-1005. — С. 257-260.
9. Козельская, М. Ю. Расчёт на устойчивость сжатых полимерных стержней с учётом температурных воздействий и высокоэластических деформаций [Электронный ресурс] / М. Ю. Козельская, А. С. Чепурненко, С. В. Литвинов // *Научно–технический вестник поволжья*. — 2013. — №4. — С. 190–194. — Режим доступа: [http://ntvp.ru/files/NTVP\\_4\\_2013.php](http://ntvp.ru/files/NTVP_4_2013.php)
10. Andreev, V. I. On the bending of a thin polymer plate at nonlinear creep / V. I. Andreev, B. M. Yazyev, A. S. Chepurnenko // *Advanced Materials Research*. — 2014. — Т. 900. — С. 707-710.